

# 周报 向嘉豪(2026-02-09)

**摘要:** 本周完成硕士学位论文第五章面向 GPU 的 AES 算法线程自适应并行优化实现的撰写工作，提出了自适应线程分配 (ATA) 和函数级并行化 (FLP) 策略，在 NVIDIA RTX 4090 上实现 AES-128-CTR 模式 1842 Gb/s 的加密吞吐量。同时对第四篇小论文中 ML-DSA 的格密码学基础进行系统梳理，完成了格几何、短向量问题 (SVP)、最近向量问题 (CVP)、短整数解问题 (SIS) 以及 ML-DSA 签名方案三阶段流程的图解。

下周计划: 1) 继续修改第四篇小论文 2) 完成硕士学位论文的撰写工作

## 1 硕士学位论文撰写

### 1.1 第五章面向 GPU 的 AES 算法线程自适应并行优化实现

完成了第五章面向 GPU 的 AES 算法线程自适应并行优化实现的撰写工作，该章节包括 AES 算法与 GPU 计算模型、线程自适应 GPU 优化方法、GPU 实现结果与吞吐量评估三个主要部分。本章提出了自适应线程分配 (ATA) 策略，通过建立执行时间性能模型  $T(g_i, t) = \alpha_i + \beta_i/t + \gamma_i \cdot t$ ，针对 AES 不同操作动态确定最优线程配置  $t_i^* = \sqrt{\beta_i/\gamma_i}$ ，并结合函数级并行化 (FLP) 方法将 AES 核心操作 (SubBytes、ShiftRows/MixColumns、AddRoundKey) 分解为可并发执行的细粒度计算任务。

性能评估部分在 NVIDIA RTX 4090 GPU 上进行测试，AES-128-CTR 模式达到 1842 Gb/s (230.3 GB/s) 的吞吐量，AES-128-ECB 模式达到 1596 Gb/s (199.5 GB/s)。延迟分解分析表明 SubBytes 操作占总执行时间的 68.7%，ShiftRows/MixColumns 贡献 23.8%，AddRoundKey 仅占 7.5%。AES-256 相比 AES-128 的性能下降约 16–17%，主要原因是轮数增加 (14 轮 vs 10 轮) 和密钥扩展的额外计算开销。

## 2 第四篇小论文——ML-DSA 格密码学基础梳理

本周对第四篇小论文中 ML-DSA 的格密码学理论基础进行系统梳理与可视化图解，涵盖格基础概念、核心困难问题与 ML-DSA 方案流程。

### 2.1 格的基本概念与基变换

格是由  $m$  个线性无关向量的整数线性组合构成的离散点集  $\mathcal{L}(B) = \{Bz : z \in \mathbb{Z}^m\}$ 。同一格可由不同基描述，密码学利用“好基”（短且近正交）与“坏基”（长且倾斜）之间的计算不对称性构建安全方案。

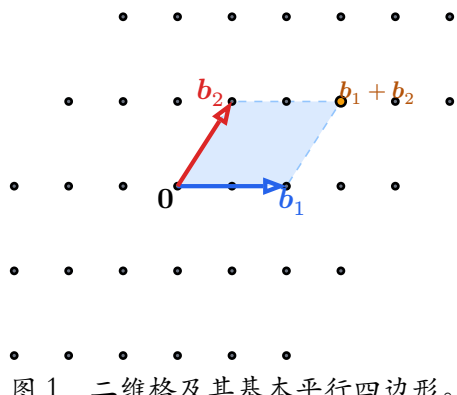


图 1 二维格及其基本平行四边形。

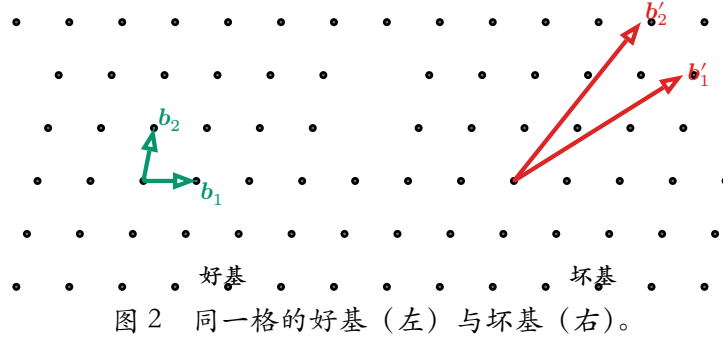


图 2 同一格的好基 (左) 与坏基 (右)。

## 2.2 格上核心困难问题

格密码学的安全性建立在三个核心困难问题之上。SVP 要求找到格中最短非零向量，在高维下具有指数级复杂度且无已知量子加速。CVP 要求找到距目标点最近的格点，ML-DSA 签名本质上是有界距离解码问题。SIS 要求找到满足  $Ax = 0 \bmod q$  且  $\|x\|_\infty \leq \beta$  的短向量，ML-DSA 验证依赖于该问题的困难性。

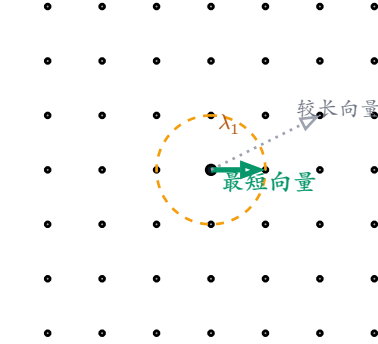


图 3 SVP：虚线圆半径  $\lambda_1$  内无非零格点。

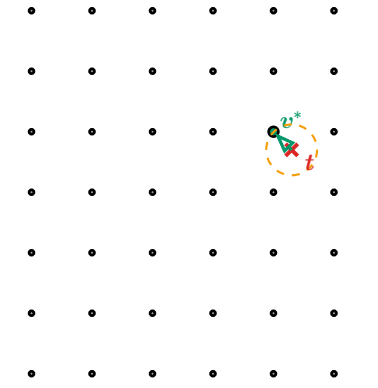


图 4 CVP：找到距目标  $t$  最近的格点  $v^*$ 。

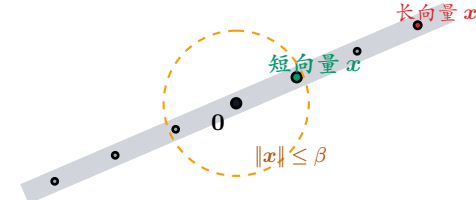


图 5 SIS：解空间中仅少数格点为短向量。

## 2.3 ML-DSA 签名方案三阶段流程

ML-DSA 基于 Fiat-Shamir with Aborts 范式，包含密钥生成、签名和验证三个阶段。密钥生成从种子  $\xi$  派生  $A$  和短秘密  $s_1, s_2$ ，计算  $t = As_1 + s_2$  并分割为公钥  $t_1$  和私钥  $t_0$ ，安全性基于 Module-LWE 困难性。

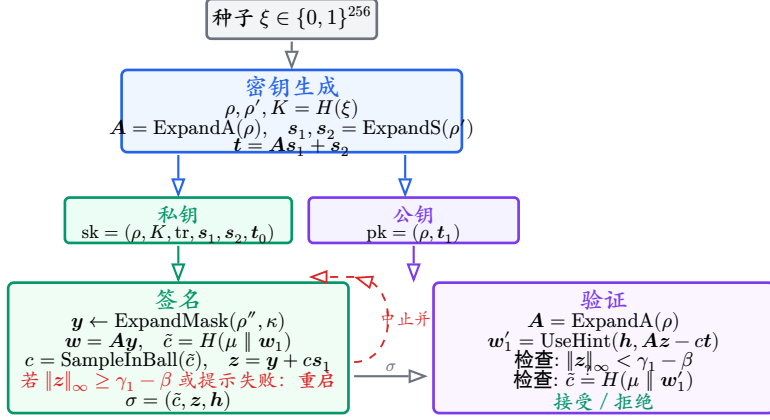


图 6 ML-DSA 三阶段流程概览。

签名阶段采用拒绝采样：选取掩码 $y$ ，计算 $z = y + cs_1$ ，若 $\|z\|_\infty \geq \gamma_1 - \beta$ 则重启，确保 $z$ 分布与 $s_1$ 无关。

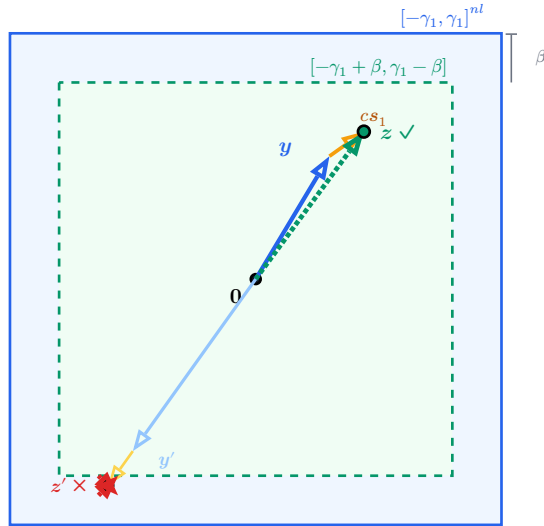


图 7 签名几何： $z = y + cs_1$ 须落在接受区域内。

验证阶段利用 $Az - ct = w - cs_2$ 重构 $w'_1$ ，由于 $cs_2$ 为短向量，高位比特匹配 $w_1$ ，提示 $h$ 修正舍入误差后验证哈希一致性。

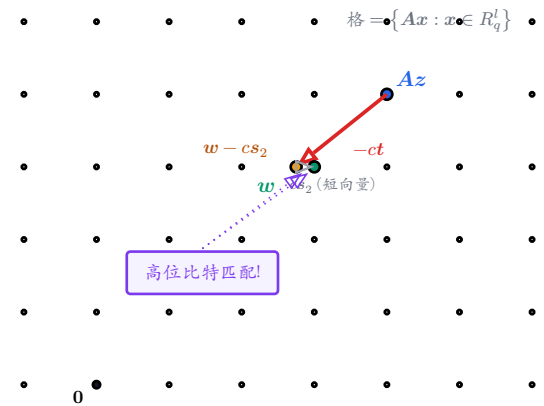


图 8 验证代数： $Az - ct = w - cs_2$ ，短向量 $cs_2$ 保证高位匹配。